

京都大学防災研究所

○ 足立紀尚

"

小川豊和

## 1.はじめに

水で飽和した多孔質軟岩(径5cm, 高さ10cm)供試体、物理諸量を表1に示す)の三軸試験を活用する際の問題点を明らかにする目的で、バックプレッシャーが材料力学挙動に及ぼす影響を実験的に確かめた。

## 2. 実験結果と考察

図-1は低拘束圧下の三軸圧縮試験で材料が示す間げき水圧と軸ひずみ関係を模式的に表したものである。すなはち、非排水条件下では、間げき水圧が側圧より頭うちさへ、絶対ゼロ気圧により下限をもつ。すなはち大気圧を下回ると、キャビテーションによる試料の飽和が保たれなくなる。图-1(b)(バックプレッシャー)が大きくなるれば間げき水圧は動きの範囲が大きくなり、過剰間げき水圧は大きな負の値をとることがで、有効応力( $\sigma' = \sigma - u$ )が大きくなるために、強度も増加すると考えられる。排水条件下では過剰間げき水圧が常にゼロであるから、有効応力は変化しないであろう。

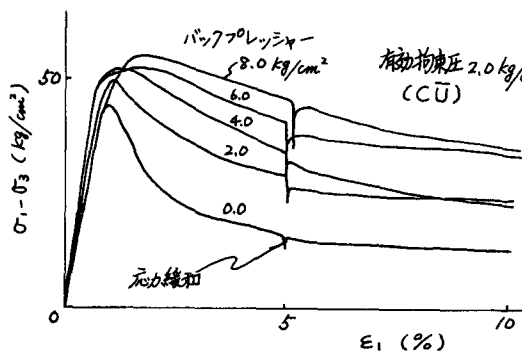


図-2

表-1

間げき比	$e$	0.72
間げき率	$n$	0.42
乾燥密度	$\gamma_d$	1.44
湿潤密度	$\gamma_w$	1.86
含水比	$w$	29.2
粒子比重	$G_s$	2.48

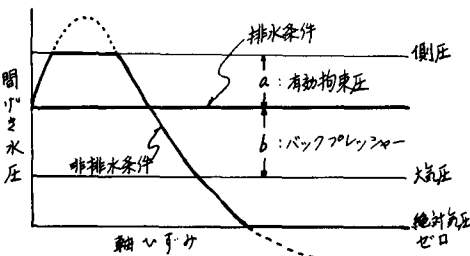


図-1

図-2には排水試験(有効拘束圧2kg/cm<sup>2</sup>)より得られた偏差応力～軸ひずみ関係を示す。すなはち図-3は図2に對応する間げき水圧～軸ひずみ関係であるが、大気圧をゼロとして描いた。 $\epsilon_1 = 5\%$ 前後で応力を緩和させており、その際に間げき水圧が回復していきが見られる。材料はひずみ硬化～軟化を示し、ピーク後の強度が、バックプレッシャー増加とともに増加していく。すなはち過剰間げき水圧は、ピーク後負の値をとるゆえにダイレイターンシー挙動を表わしている。図-3は、図2の応力ピーク直後を矢印で示したが、間げき水圧がピークがそれより早く現れるのは興味ある事実である。

図4は、排水試験(有効拘束圧2kg/cm<sup>2</sup>)より得られた偏差応力～偏差ひずみ関係を、図-5は、図-4に対する体積ひずみ～偏差ひずみ関係を示す。排水条件下でも材料は低拘束圧下で、ひずみ硬化～軟化を示すが、強度につけてほとんどバックプレッシャーの影響を受けないことがうかがえる。図-5は図3と同様、材料のダイレイターンシー挙動を表わしている。体積変化はバックプレッシャーの増加に従い増加する傾向にある。

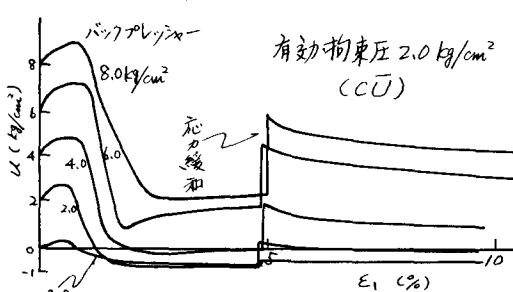


図-3

図6には図1～4で示された非排水・排水試験結果を

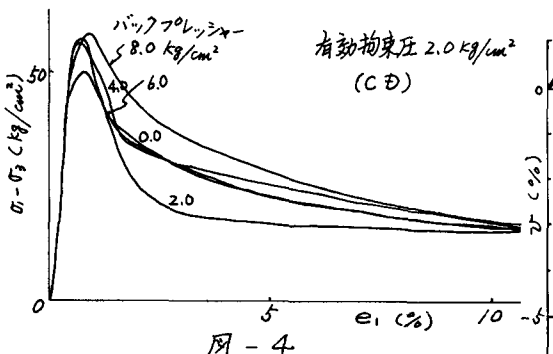


図-4

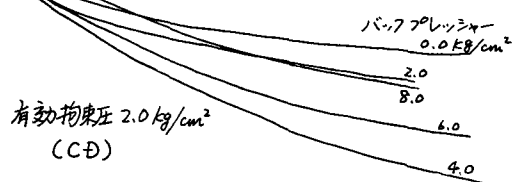


図-5

もとに、有効応力経路を描いた。▲印で残留応力状態を示す。排水経路で▲印がほぼ一直に集中シマリのに対し、非排水経路ではバックプレッシャー増加とともに右上にずれ、強度が増加シマリと示している。

図-7は図-6に対応する体積ひずみ～平均有効応力関係である。細い実線は他で求められた初期等方圧密曲線であり、一束縛線は0～200 kg/cm²の拘束圧下での三軸圧縮試験から得られた残留応力状態を結んで求めた曲線で、いわゆる Cambridge 学派の提唱する Critical State Line に相当する。△印と平行な直線が非排水経路を表す。▲印が残留応力状態を示す。バックプレッシャーが4 kg/cm²以下では、図-1で述べたようにキャビテーションが生じて、試料の飽和が保たれず、実際に材料が膨張してシマリに向かうから、ただ排水コックを開じるとどうぞの非排水試験結果を与えてシマリと考えられる。そのため、これらの残留応力状態を正しく把握するためには、図中に実印で示されたように、Critical State Line 上に直を落としながらして考慮する必要がある。なお、排水経路については、バックプレッシャーが0.8 kg/cm²の2ケースのみ示す。

### 3. まとめ

バックプレッシャー（現場における水頭差に相当）によつて材料の応力～ひずみ関係が影響を受けること認めかた。また、非排水条件下ではキャビテーションにより、試料の飽和が保たれず、ことからして結果を統一的に行分析するには、非排水試験において、かなり高い値のバックプレッシャー（本研究で用いた大谷石では6 kg/cm²以上）をかけて、間隔を水压を測定する必要がある。最後に表-2に材料のピーク・残留強度を示す。

### \*参考文献\*

- 1)赤井・足立・西(1978)“堆積軟岩の塑性挙動”, 土木学会論文集3月号
- 2)足立・小川・山本(1978)“低圧ならびに高压下の軟岩の力学挙動”, 第13回国土質工学研究発表会
- 3) Ogawa (1978) "Mechanical Behaviour of Soft-Sedimentary Rock" Kyoto Univ. Master Thesis.

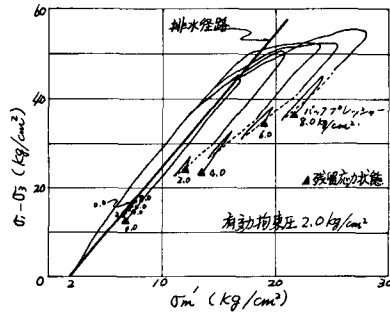


図-6

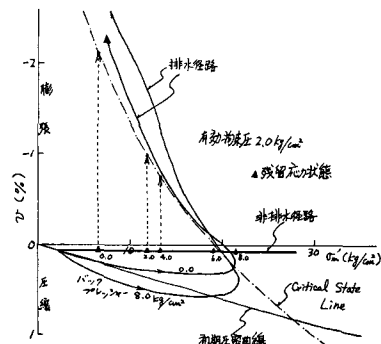


図-7

表-2 (応力単位 kg/cm²)

	バック プレッ シャー	$\sigma_1 - \sigma_3$ max.	$\sigma_1 - \sigma_3$ res.	$\sigma_1 - \sigma_3$ $\sigma_{av}$	$\sigma_{av}$ $(\sigma_1 - \sigma_3)_{av}$	$\sigma_1 - \sigma_3$ $\sigma_{av}$	
非 排 水	8	55.3	27.4	2.02	35.9	21.6	1.66
	6	52.7	22.7	2.32	34.3	19.0	1.81
	4	52.3	24.3	2.16	23.2	13.4	1.73
	2	50.8	20.6	2.47	24.3	12.0	2.04
	0	44.5	16.8	2.65	12.7	6.6	1.92
排 水	8	59.4	21.9	2.71	45.8	7.5	2.11
	6	57.8	21.1	2.74	46.4	7.5	2.24
	4	67.8	21.3	2.71	45.2	7.1	2.14
	2	51.0	19.2	2.65	44.1	6.8	2.07
	0	57.9	21.4	2.70	46.8	7.6	2.20